

وزارت علوم، تحقیقات و فناوری



دانشگاه دامغان

دانشکده شیمی

پایان نامه کارشناسی ارشد شیمی (معدنی)

سنتر و شناسایی لیگاند جدید سه دندانه باز شیف مشتق شده از ۵-برومو-سالیسیلآلدهید و N,N-دی متیل-اتیلن دی آمین و کمپلکس‌های وانادیل، مس(II)، روی(III) و نیکل(II) آن و بررسی تشکیل نانو ذرات اکسیدهای فلزات مربوطه از طریق تجزیه حرارتی کمپلکس‌های تهییه شده

استاد راهنمای

دکتر غلامحسین گربویانی

استاد مشاور

دکتر علی اکبر دهنو خلجمی

توسط

بهاره صادقی فر

شهریور ۱۳۹۲

الله

وزارت علوم، تحقیقات و فناوری

دانشگاه دامغان

دانشکده شیمی

پایان نامه کارشناسی ارشد شیمی (معدنی)

سنتر و شناسایی لیگاند جدید سه دندانه باز شیف مشتق شده از ۵-برومو-سالیسیل‌آلدهید و N,N-دی متیل-اتیلن دی آمین و کمپلکس‌های وانادیل، مس(II)، روی(II) و نیکل(II) آن و بررسی تشکیل نانو ذرات اکسیدهای فلزات مربوطه از طریق تجزیه حرارتی کمپلکس‌های تهییه شده

استاد راهنما

دکتر غلامحسین گریوانی

استاد مشاور

دکتر علی اکبر دهنو خلجی

توسط

بهاره صادقی فر

۱۳۹۲ شهریور

به نام خدا

سنتر و شناسایی لیگاند جدید سه دندانه باز شیف مشتق شده از ۵-برومو سالیسیل آلدھید و N,N-دی متیل-اتیلن دی آمین و کمپلکس‌های وانادیل، مس(II)، روی(II) و نیکل(II) آن و بررسی تشکیل نانو ذرات اکسیدهای فلزات مربوطه از طریق تجزیه حرارتی کمپلکس‌های تهیه شده

توسط:

بهاره صادقی فر

پایان نامه

ارائه شده به تحصیلات تکمیلی دانشگاه به عنوان بخشی
از فعالیت‌های لازم برای اخذ درجه کارشناسی ارشد شیمی

در رشته‌ی:

شیمی معدنی

از دانشگاه دامغان

ارزیابی و تایید شده توسط کمیته داوران با درجه: عالی

دکتر غلامحسین گریوانی، دانشیار شیمی معدنی، دانشکده شیمی دامغان (استاد راهنمای)

دکتر علی اکبر دهنو خلجمی، استادیار شیمی معدنی، دانشگاه گلستان (استاد مشاور)

دکتر عظیم ملک زاده، استادیار شیمی معدنی، دانشکده شیمی دامغان (استاد داور)

دکتر ربابه علیزاده، استادیار شیمی معدنی، دانشکده شیمی دامغان (استاد داور)

دکتر سید احمد نبوی امری، استادیار شیمی فیزیک، دانشکده شیمی دامغان (نماینده تحصیلات تکمیلی)

حاصل آموخته نایم را تقدیم می کنم

به آنان که مهر آسمانی شان آرام بخش آلام زینی ام است،

با استوار ترین تکیه گاهی پدرم و نگاه پر مهر مادرم که امر دز هستی ام به امید شماست و فرد اکنید باغ بهشم رضایت

شماست و به نین خواهر عزیزم، سپیده که چون ناش، روشنایی شب های تارم است.

پاسکنزاری

از استاد کرادرم جناب آقای دکتر غلامحسین کریونی که به عنوان استاد راهنمای سپرستی این پژوهه را به بسیاری
شغل مکن بر عده داشته مشکر و قدردانی می‌کنم.

از استاد محترم مدعاو آقای دکتر عظیم ملکزاده و خانم دکتر بابه علیزیزاده به دلیل زحمت قرائت پایان نامه
و حضور در جلسه دفاعیه مشکر می‌نامیم.

از جناب آقای دکتر احمد بنوی امری ناینده محترم تحصیلات تکمیلی که در جلسه دفاع نامه حضور داشته نزیر
مشکرم.

چکیده

عنوان پایان نامه

سنتر و شناسایی لیگاند جدید سه دندانه باز شیف مشتق شده از ۵-برومو-سالیسیل‌آلدهید و N,N-دی‌متیل-اتیلن دی‌آمین و کمپلکس‌های وانادیل، مس(II)، روی(II) و نیکل(II) آن و بررسی تشکیل نانو ذرات اکسیدهای فلزات مربوطه از طریق تجزیه حرارتی کمپلکس‌های تهیه شده

توضیح

بهاره صادقی فر

واژگان کلیدی: باز شیف، کمپلکس، وانادیم(IV)، نیکل(II)، مس(II)، روی(II)، نانو ذرات، تجزیه حرارتی

لیگاند ۵-برومو-سالیسیلیدین-ایمین-N,N دی‌متیل-اتیلن آمین، از واکنش ۵-برومو-سالیسیل‌آلدهید و N,N-دی‌متیل-اتیلن دی‌آمین در حلال مтанول و طی چهار ساعت تنظیر برگشتی تهیه گردید. سپس این لیگاند با اکسید وانادیوم(IV) استیل استونات، استات مس(II) یک آبه، استات روی(II) دو آبه و نیترات نیکل(II) شش آبه با نسبت ۱:۲ و در حلال مтанول به مدت دو ساعت واکنش داده، که به ترتیب کمپلکس-های $[VOL(acac)]$ ، $[Cu_2L_2(OAc)_2]$ ، $[Zn_3L_2(OAc)_4]$ و $[NiL(NO_3)_2]$ را تشکیل داد. لیگاند و کمپلکس-های تهیه شده، توسط روش‌های آنالیز عنصری (CHN)، طیف سنجی UV-Vis، FT-IR و آنالیز تک بلور-X-ray مورد شناسایی قرار گرفتند. آنالیز تک بلور X-ray کمپلکس باز شیف وانادیل $[VOL(acac)]$ ، ساختار هشت وجهی انحراف یافته را در اطراف مرکز فلزی نشان می‌دهد. همچنین آنالیز تک بلور X-ray کمپلکس باز شیف روی $[Zn_3L_2(OAc)_4]$ ، سه مرکز فلزی روی با دو محیط کوئور دیناسیون متفاوت، که دو اتم روی انتهایی ساختار هرم مربع القاعده انحراف یافته و اتم روی مرکزی ساختار اکتاهادرال دارند، را نشان می‌دهد. از طریق پل‌های فنولات که به صورت $O-\mu$ و استات که به صورت $O-\mu$ و $O-\mu'$ عمل می‌کنند، دو اتم فلزی مجاور بهم مرتبط می‌شوند. آنالیز تک بلور X-ray مربوط به کمپلکس باز شیف مس $[Cu_2L_2(OAc)_2]$ ، که در حلال کلروفرم متبلور شده است، گروه فضایی (P-1) را نشان می‌دهد. هندسه اطراف دو مرکز مس، هرم مربع القاعده انحراف یافته است. کمپلکس‌های باز شیف تهیه شده در دمای حدوداً ۷۵۰ درجه سانتی گراد تجزیه می‌شوند. آنالیز (XRD) تشکیل نانو ذرات (V_2O_5) ، (CuO) و (NiO) را تأیید می‌کند.

فهرست مطالب

صفحه	عنوان
۱	۱- فصل اول - مقدمه
۲	۱-۱- بازهای شیف
۲	۱-۱-۱- معرفی بازهای شیف
۴	۱-۱-۲- سنتز بازهای شیف
۵	۱-۱-۳- تاریخچه بازهای شیف
۵	۱-۱-۴- نام‌گذاری بازهای شیف
۷	۱-۱-۵- استفاده از حللهای طبیعت دوست در تهیه بازهای شیف
۸	۱-۱-۶- طبقه‌بندی بازهای شیف
۱۲	۱-۱-۷- بازهای شیف پلیمری
۱۳	۱-۱-۸- کمپلکس‌ها
۱۳	۱-۱-۹- کمپلکس‌های باز شیف
۱۴	۱-۱-۱۰- تعدادی از کاربردهای کمپلکس‌های باز شیف
۱۵	۱-۱-۱۱- روش‌های معمول در سنتز کمپلکس‌های باز شیف
۱۵	۱-۱-۱۲- روش اول: روش مک‌کارتی
۱۶	۱-۱-۱۳- روش دوم: روش تمپلت یا مورگان و اسمیت
۱۷	۱-۱-۱۴- روش‌های معمول در شناسایی بازهای شیف
۱۷	۱-۱-۱۵- عنصر وانادیوم
۱۸	۱-۱-۱۶- کمپلکس‌های باز شیف وانادیوم
۲۰	۱-۱-۱۷- مروری بر تحقیقات انجام شده‌ی اخیر پیرامون کمپلکس‌های وانادیوم
۲۴	۱-۱-۱۸- اکسید وانادیوم
۲۵	۱-۱-۱۹- عنصر مس، روی و نیکل
۲۵	۱-۱-۲۰- عنصر مس
۲۵	۱-۱-۲۱- عنصر روی

۲۶ ۱-۵- عنصر نیکل

۲۷ ۱-۶- مروری بر آخرین تحقیقات انجام شده پیرامون کمپلکس‌های باز شیف مس، روی و نیکل

فصل دوم- تجربی

۳۴ ۲-۱- مواد و دستگاه‌های مورد استفاده

۳۵ ۲-۲-۱- مواد مورد استفاده

۳۵ ۲-۲-۱- دستگاه‌های مورد استفاده

۳۶ ۲-۲- لیگاندهای باز شیف (L)

۳۶ ۲-۲-۱- تهیه لیگاند (L= ۵-برومو- سالیسیلیدین- آیمین- N,N- دی متیل- اتیلن آمین)

۳۷ ۲-۲-۳- کمپلکس‌های باز شیف وانادیل، مس (II)، روی (II) و نیکل (II)

۳۷ ۲-۲-۳-۱- تهیه کمپلکس باز شیف وانادیل [VOL(acac)]

۳۸ ۲-۲-۳-۲- تهیه کمپلکس باز شیف مس (II)، [Cu₂L₂(OAc)₂]

۳۹ ۲-۲-۳-۳- تهیه کمپلکس باز شیف روی (II)، [Zn₃L₂(OAc)₄]

۴۰ ۲-۲-۳-۴- تهیه کمپلکس باز شیف نیکل (II)، [NiL(NO₃)]

فصل سوم- بحث و نتیجه گیری

۴۱ ۳-۱- مقدمه

۴۲ ۳-۲- لیگاند بازشیف (L= ۵-برومو- سالیسیلیدین- آیمین- N,N- دی متیل- اتیلن آمین)

۴۳ ۳-۲-۱- تهیه لیگاند بازشیف (L)

۴۳ ۳-۲-۲- شناسایی لیگاندهای بازشیف (L)

۴۳ ۳-۲-۲-۱- بررسی طیف FT-IR لیگاند بازشیف (L)

۴۵ ۳-۲-۲-۲- بررسی طیف ¹H NMR لیگاند بازشیف (L)

۴۷ ۳-۲-۲-۳- آنالیز عنصری (CHN) مربوط به لیگاند بازشیف (L)

۴۷ ۳-۲-۲-۴- بررسی طیف UV-Vis لیگاندهای بازشیف (L)

۴۸ ۳-۲-۳- آنالیز توزین حرارتی (Thermogravimetric analysis)

۴۹ ۳-۲-۳-۱- بررسی آنالیز حرارتی (TGA) لیگاند بازشیف (L)

۵۱	۳ - ۳ - ۳ - کمپکس وانادیل [VOL(acac)]
۵۱	۳ - ۳ - ۱ - تهیه کمپلکس وانادیل [VOL(acac)]
۵۱	۳ - ۳ - ۲ - شناسایی کمپلکس وانادیل [VOL(acac)]
۵۱	۳ - ۳ - ۲ - ۱ - بررسی طیف FT-IR کمپلکس وانادیل [VOL(acac)]
۵۴	۳ - ۳ - ۲ - ۲ - آنالیز عنصری (CHN) کمپلکس وانادیل [VOL(acac)]
۵۴	۳ - ۳ - ۲ - ۳ - بررسی طیف UV-Vis کمپلکس وانادیل [VOL(acac)]
۵۵	۳ - ۳ - ۳ - آنالیز پراش پرتو-X (X-ray) کمپلکس وانادیل [VOL(acac)]
۶۰	۳ - ۳ - ۴ - بررسی آنالیز حرارتی (TGA) کمپلکس [VOL(acac)]
۶۱	۳ - ۳ - ۵ - تهیه نانو ذرات اکسید وانادیوم (V_2O_5)
۶۳	۳ - ۴ - ۱ - کمپلکس مس [Cu ₂ L ₂ (OAc) ₂]
۶۳	۳ - ۴ - ۱ - ۱ - تهیه کمپلکس مس [Cu ₂ L ₂ (OAc) ₂]
۶۳	۳ - ۴ - ۲ - شناسایی کمپلکس مس [Cu ₂ L ₂ (OAc) ₂]
۶۳	۳ - ۴ - ۲ - ۱ - بررسی طیف FT-IR کمپلکس مس [Cu ₂ L ₂ (OAc) ₂]
۶۵	۳ - ۴ - ۲ - آنالیز عنصری (CHN) کمپلکس مس [Cu ₂ L ₂ (OAc) ₂]
۶۵	۳ - ۴ - ۲ - ۲ - بررسی طیف UV-Vis کمپلکس مس [Cu ₂ L ₂ (OAc) ₂]
۶۶	۳ - ۴ - ۳ - آنالیز پراش پرتو-X (X-ray) کمپلکس مس [Cu ₂ L ₂ (OAc) ₂]
۷۱	۳ - ۴ - ۴ - ۱ - تهیه نانو ذرات اکسید مس (CuO)
۷۲	۳ - ۴ - ۵ - ۱ - کمپلکس روی [Zn ₃ L ₂ (OAc) ₄]
۷۲	۳ - ۴ - ۵ - ۱ - ۱ - تهیه کمپلکس روی [Zn ₃ L ₂ (OAc) ₄]
۷۳	۳ - ۴ - ۵ - ۲ - شناسایی کمپلکس روی [Zn ₃ L ₂ (OAc) ₄]
۷۳	۳ - ۴ - ۵ - ۲ - ۱ - بررسی طیف FT-IR کمپلکس روی [Zn ₃ L ₂ (OAc) ₄]
۷۵	۳ - ۴ - ۵ - ۲ - آنالیز عنصری (CHN) کمپلکس روی [Zn ₃ L ₂ (OAc) ₄]
۷۵	۳ - ۴ - ۵ - ۲ - ۲ - بررسی طیف UV-Vis کمپلکس روی [Zn ₃ L ₂ (OAc) ₄]
۷۶	۳ - ۴ - ۵ - ۳ - آنالیز پراش پرتو-X (X-ray) کمپلکس روی [Zn ₃ L ₂ (OAc) ₄]
۸۱	۳ - ۴ - ۵ - ۴ - تهیه نانو ذرات اکسید روی (ZnO)

۸۲	-۳-۶- کمپلکس نیکل [NiL(NO ₃)]
۸۲	-۳-۶-۱- تهیه کمپلکس نیکل [NiL(NO ₃)]
۸۲	-۳-۶-۲- شناسایی کمپلکس نیکل [NiL(NO ₃)]
۸۲	-۳-۶-۲-۱- بررسی طیف FT-IR کمپلکس نیکل [NiL(NO ₃)]
۸۴	-۳-۶-۲-۲- آنالیز عنصری (CHN) کمپلکس نیکل [NiL(NO ₃)]
۸۴	-۳-۶-۲-۳- بررسی طیف UV-Vis کمپلکس نیکل [NiL(NO ₃)]
۸۵	-۳-۶-۳- تهیه نانوذرات اکسید نیکل (NiO)

فهرست شکل‌ها

عنوان	صفحه
شکل (۱-۱): واکنش تشکیل بازهای شیف	۲
شکل (۱-۲): مکانیسم تشکیل بازهای شیف در حضور کاتالیزور اسیدی	۳
شکل (۱-۳): شماتیک از سنتز باز شیف‌ها	۴
شکل (۱-۴): ساختار لیگاند ۵-برومو-۲-هیدروکسی بنزیل-۲-فورفوریل ایمین	۶
شکل (۱-۵): ساختار لیگاند N-سالیسیلیدین-۲-برومو-اتیل ایمین	۶
شکل (۱-۶): ساختار N,N' -بیس (سالیسیلیدین) اتیل دی ایمین (Salen)	۶
شکل (۱-۷): N,N' -بیس (5-X-Salen) سالیسیلیدین اتیل دی ایمین	۷
شکل (۱-۸): مکانیسم نوآرایی باز شیف	۷
شکل (۱-۹): سنتز آزو باز شیف در سوسپانسیون آبی	۸
شکل (۱-۱۰): نمونه‌هایی از لیگاندهای باز شیف دودنده	۹
شکل (۱-۱۱): نمونه‌هایی از لیگاند باز شیف سه دندانه	۱۰
شکل (۱-۱۲): نمونه‌هایی از لیگاندهای باز شیف چهار دندانه	۱۰
شکل (۱-۱۳): دو نمونه از لیگاندهای باز شیف پنج دندانه	۱۱
شکل (۱-۱۴): دو نمونه از لیگاندهای باز شیف شش دندانه	۱۱
شکل (۱-۱۵): مثال‌هایی از لیگاندهای باز شیف هفت دندانه	۱۲
شکل (۱-۱۶): کمپلکس آهن مشتق شده از لیگاند باز شیف پلیمری	۱۲
شکل (۱-۱۷): ساختار کمپلکس‌های Cu(II)، Ni(II) و Co(II) مشتق شده از لیگاند N,N' -بیس [X-5-سالیسیلیدین]	۱۵
شکل (۱-۱۸): مثالی از سنتز بازهای شیف به روش مک‌کارتی	۱۶
شکل (۱-۱۹): مثالی از سنتز کمپلکس‌های باز شیف به روش تمپلت	۱۶
شکل (۱-۲۰): چند نمونه از کمپلکس‌های باز شیف وانادیوم	۱۹
شکل (۱-۲۱): سنتز دو لیگاند ترانس باز شیف چهار دندانه و کمپلکس وانادیوم آن	۲۰
شکل (۱-۲۲): سنتز لیگاند باز شیف سه دندانه و کمپلکس VO(IV)	۲۱

- شکل (۱-۲۳): سنتز لیگاند باز شیف دودنده جدید L و کمپلکس وانادیل $V^{IV}OL_2$ ۲۲
- شکل (۱-۲۴): ساختار کریستالی کمپلکس وانادیل $V^{IV}OL_2$ ۲۲
- شکل (۱-۲۵): سنتز لیگاند باز شیف جدید L' و کمپلکس وانادیل مربوطه $'VOL_2$ ۲۳
- شکل (۱-۲۶): ساختار کریستالی کمپلکس وانادیل $'VOL_2$ ۲۳
- شکل (۱-۲۷): الگوی (XRD) کمپلکس [VOL₂] \cdot H₂O (a) و [VOL₁] \cdot H₂O (b) ۲۴
- شکل (۱-۲۸): مثالی از لیگاند ماکروسیکل ۲۷
- شکل (۱-۲۹): مثالهایی از سنتز لیگاند باز شیف درشت حلقه از دی کتون و دی آمین ۲۸
- شکل (۱-۳۰): سنتز لیگاند باز شیف ماکروسیکل ۲۹
- شکل (۱-۳۱): سنتز کمپلکس‌های Ni^{+2} , Cu^{+2} , Zn^{+2} از لیگاند باز شیف ماکروسیکل ۲۹
- شکل (۱-۳۲): سنتز لیگاند نامتقارن دی ایمین ۳۰
- شکل (۱-۳۳): کمپلکس‌های مس و نیکل تهیه شده از لیگاند باز شیف نامتقارن دی ایمین ۳۱
- شکل (۱-۳۴): (a) لیگاند باز شیف جدید (H_3L) و (b) کمپلکس‌های مربوط به آن ۳۱
- شکل (۱-۳۵): (a) ساختار لیگاند N -فنیل- N' -تیوفن-۲-ایل متیلن هیدرازین و (b) کمپلکس‌های $Zn(II)$ و (ii) $Ni(II)$ مربوط به آن ۳۳
- شکل (۱-۳۶): تصویر (SEM) از نانوذرات (a) (ZnO) و (b) (NiO) ۳۳
- شکل (۲-۱): بلورهای لیگاند باز شیف (L) ۳۶
- شکل (۲-۲): بلورهای کمپلکس وانادیل $[VOL(acac)]$ ۳۷
- شکل (۲-۳): بلورهای کمپلکس مس $[Cu_2L_2(OAc)_2]$ ۳۸
- شکل (۲-۴): کریستالهای کمپلکس روی $[Zn_3L_2(OAc)_4]$ ۳۹
- شکل (۳-۱): واکنش تهیه لیگاند باز شیف ($L=5$ -برومو-سالیسیلیدین-ایمین- N,N -دی متیل-اتیلن دی آمین) ۴۳
- شکل (۳-۲): طیف FT-IR لیگاند باز شیف (L) ۴۴
- شکل (۳-۳): انواع پروتون‌های موجود در ترکیب لیگاند باز شیف (L) ۴۵
- شکل (۳-۴): طیف 1HNMR لیگاند باز شیف (L) ۴۶
- شکل (۳-۵): طیف UV-Vis لیگاند باز شیف (L) ۴۷

۴۸ شکل (۳-۶): شمایی از یک نمودار TGA
۴۹ شکل (۳-۷): نمودار TGA لیگاند باز شیف (L)
۵۰ شکل (۳-۸): مراحل تجزیه حرارتی لیگاند باز شیف (L)
۵۱ شکل (۳-۹): واکنش سنتز کمپلکس وانادیل [VOL(acac)]
۵۲ شکل (۳-۱۰): طیف FT-IR کمپلکس وانادیل [VOL(acac)]
۵۳ شکل (۳-۱۱): طیف FT-IR کمپلکس [VO(acac) ₂]
۵۴ شکل (۳-۱۲): طیف UV-Vis کمپلکس وانادیل [VOL(acac)]
۵۵ شکل (۳-۱۳): ساختار بلوری کمپلکس وانادیل [VOL(acac)]
۵۶ شکل (۳-۱۴): نمودار انباشتگی کمپلکس وانادیل [VOL(acac)] در سلول واحد
۶۰ شکل (۳-۱۵): نمودار TGA کمپلکس وانادیل [VOL(acac)]
۶۱ شکل (۳-۱۶): مراحل تجزیه حرارتی کمپلکس وانادیل [VOL(acac)]
۶۲ شکل (۳-۱۷): طیف XRD مربوط به نانو ذرات (V ₂ O ₅)
۶۲ شکل (۳-۱۸): معادله شر
۶۳ شکل (۳-۱۹): واکنش سنتز کمپلکس مس [Cu ₂ L ₂ (OAc) ₂]
۶۴ شکل (۳-۲۰): طیف FT-IR کمپلکس مس [Cu ₂ L ₂ (OAc) ₂]
۶۵ شکل (۳-۲۱): طیف UV-Vis کمپلکس مس [Cu ₂ L ₂ (OAc) ₂]
۶۶ شکل (۳-۲۲): ساختار بلوری کمپلکس مس [Cu ₂ L ₂ (OAc) ₂]
۶۷ شکل (۳-۲۳): نمودار انباشتگی کمپلکس مس [Cu ₂ L ₂ (OAc) ₂] در سلول واحد
۷۱ شکل (۳-۲۴): طیف XRD مربوط به نانو ذرات (CuO)
۷۲ شکل (۳-۲۵): واکنش سنتز کمپلکس روی [Zn ₃ L ₂ (OAc) ₄]
۷۴ شکل (۳-۲۶): طیف FT-IR کمپلکس روی [Zn ₃ L ₂ (OAc) ₄]
۷۵ شکل (۳-۲۷): طیف UV-Vis کمپلکس روی [Zn ₃ L ₂ (OAc) ₄]
۷۶ شکل (۳-۲۸): ساختار بلوری کمپلکس روی [Zn ₃ L ₂ (OAc) ₄]
۷۷ شکل (۳-۲۹): نمودار انباشتگی کمپلکس روی [Zn ₃ L ₂ (OAc) ₄]
۸۱ شکل (۳-۳۰): طیف XRD مربوط به نانو ذرات (ZnO)

- ٨٢ شکل (٣-١): واکنش سنتز کمپلکس نیکل $[NiL(NO_3)]$
- ٨٣ شکل (٣-٢): طیف FT-IR کمپلکس نیکل $[NiL(NO_3)]$
- ٨٤ شکل (٣-٣): طیف UV-Vis کمپلکس نیکل $[NiL(NO_3)]$
- ٨٥ شکل (٣-٤): طیف XRD مربوط به نانو ذرات (NiO)

فهرست جداول

عنوان	صفحة
۳ - ۱): نتایج آنالیز عنصری (CHN) لیگاند باز شیف (L)	۴۷
۳ - ۲): نتایج آنالیز عنصری (CHN) کمپلکس وانادیل [VOL(acac)]	۵۴
۳ - ۳): کمیتهای بلورنگاری مربوط به کمپلکس وانادیل [VOL(acac)]	۵۶
۳ - ۴): کمیتهای بلورنگاری مربوط به طول پیوندها	۵۷
۳ - ۵): کمیتهای بلورنگاری مربوط به اندازه زوایا	۵۸
۳ - ۶): کمیتهای بلورنگاری مربوط به اندازه زوایای پیچشی	۵۹
۳ - ۷): نتایج آنالیز عنصری (CHN) کمپلکس مس [Cu ₂ L ₂ (OAc) ₂]	۶۵
۳ - ۸): کمیتهای بلورنگاری مربوط به کمپلکس [Cu ₂ L ₂ (OAc) ₂]	۶۷
۳ - ۹): کمیتهای بلورنگاری مربوط به طول پیوندها	۶۸
۳ - ۱۰): کمیتهای بلورنگاری مربوط به اندازه زوایا	۶۹
۳ - ۱۱): کمیتهای بلورنگاری مربوط به اندازه زوایای پیچشی	۷۰
۳ - ۱۲): نتایج آنالیز عنصری (CHN) مربوط به کمپلکس روی [Zn ₃ L ₂ (OAc) ₄]	۷۵
۳ - ۱۳): کمیتهای بلورنگاری مربوط به کمپلکس روی [Zn ₃ L ₂ (OAc) ₄]	۷۷
۳ - ۱۴): کمیتهای بلورنگاری مربوط به طول پیوندها	۷۸
۳ - ۱۵): کمیتهای بلورنگاری مربوط به اندازه زوایا	۷۹
۳ - ۱۶): کمیتهای بلورنگاری مربوط به اندازه زوایای پیچشی	۸۰
۳ - ۱۷): نتایج آنالیز عنصری (CHN) کمپلکس نیکل [NiL(NO ₃) ₂]	۸۴

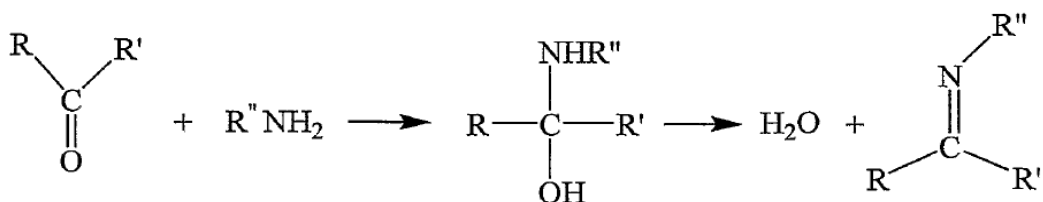
فَصْلِ الْأَوْلَى

مُدَّهْدَهْ

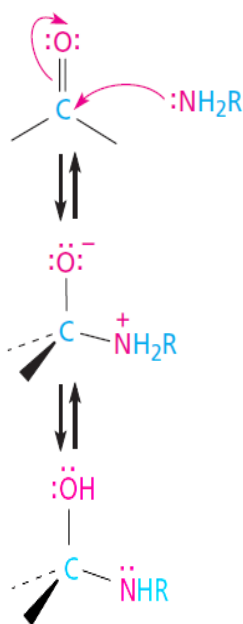
۱-۱- بازهای شیف

۱-۱-۱- معرفی بازهای شیف

بازهای شیف ترکیباتی هستند که به وسیله واکنش تراکمی بین گروه کربونیل و آمین نوع اول تشکیل می‌شوند. این ترکیبات با داشتن جفت الکترون‌های ناپیوندی بر روی نیتروژن، خصلت بازی دارند و به عنوان لیگاند با اسیدهای لوئیس که اغلب یون‌های فلزی هستند واکنش می‌دهند. فرمول عمومی بازهای شیف به صورت "RR'C=NR" است، که گروه "R" آلكیل یا آریل است که سبب پایداری باز شیف به عنوان یک ایمین می‌شود. دستهای از ترکیبات که دارای گروه عاملی آزمتین هستند، ایمین نامیده می‌شوند. ترکیبات باز شیف در برخی از مراجع به زیر گروه‌های بازهای شیف، اکسیم‌ها و هیدرازون‌ها تقسیم شده‌اند. گروه (C=N) از نظر ساختار و خواص ما بین دو گروه (C=O) و (C=C) قرار دارد. همه این گروه‌ها دو الکترون در اوربیتال خود دارند و این الکترون‌ها منشاء برخی از خصوصیات ویژه ترکیبات دارای این گروه‌ها هستند. در شکل (۱-۱) واکنش کلی تشکیل بازهای شیف [۱] و در شکل (۲-۱) مکانیسم تشکیل این ترکیبات آورده شده است [۲].



شکل ۱ - ۱ واکنش تشکیل بازهای شیف [۱]

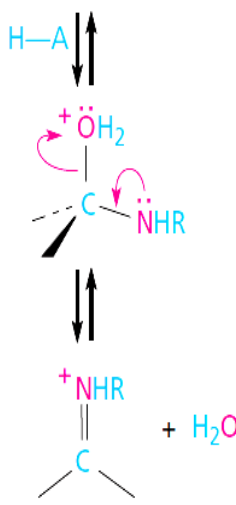


حمله نوکلئوفیلی آمین بر روی گروه کربونیل که منجر به تولید یک حدواسط دو قطبی می شود.

انتقال پروتون از اتم نیتروژن به اتم اکسیژن یک کربینول آمین خنثی تولید می کند.

یک کاتالیست اسیدی اتم اکسیژن را پروتونه می کند تا OH را به گروه ترک کننده بهتری تبدیل کند.

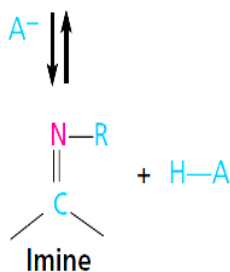
Carbinolamine



جفت الکترون ناپیوندی نیتروژن، مولکول آب را بیرون می اندازد و یون ایمینیوم تشکیل می شود.

دپروتونه شدن یون ایمینیوم باعث تولید مجدد کاتالیست اسیدی و ایمین می گردد.

Iminium ion



شکل ۱-۲ مکانیسم تشکیل بازهای شیف در حضور کاتالیزور اسیدی [۲]